



## Estimation of Evaporation from the Surface Water of the Gulf of Aqaba using Band 10 Onboard Landsat 8

Ibrahim M. Oroud<sup>1\*</sup>, Zeinab Shehadeh Ahmad AlTubeiri<sup>2</sup>

<sup>1</sup> Department of Geography, Faculty of Social Sciences, Mutah University, Karak, Jordan.

<sup>2</sup> Department of Geography, College of Arts, Al Hussein Bin Talal University, Jordan.

### Abstract

**Objectives:** Surface temperature and evaporation are important geophysical parameters because of their close linkage to the energy balance and the hydrological cycle across the surface-atmosphere boundary of the globe. The aim of this study is to estimate surface temperature and evaporation rates across the Gulf of Aqaba using a Dalton-type equation.

**Methods:** Band 10 onboard Landsat 8 was used to retrieve the brightness temperature, and the effect of the atmosphere on the retrieved surface temperature (SST) was corrected using the Radiative Transfer Equation. The retrieved SST was combined with near surface meteorological data to estimate daily evaporation from the Gulf of Aqaba using a Dalton-type equation.

**Results:** Results show that the highest SST temperature was recorded in August, reaching 27.8 °C, while the lowest temperature of 16.7 °C was observed in January. Calculations of evaporation using a Dalton-type equation indicate that evaporation ranged from a minimum of 2.06 mm/day in November to 5.54 mm/day in June.

**Conclusions:** The combination of high evaporation along with the meagre amount of freshwater input contributes to the high salinity observed in the Gulf of Aqaba compared to open seas and oceans.

**Keywords:** Evaporation estimates, sea surface temperature, thermal images, Gulf of Aqaba.

Received: 3/1/2022  
Revised: 10/8/2022  
Accepted: 22/12/2022  
Published: 30/1/2023

\* Corresponding author:  
[ioroud@mutah.edu.jo](mailto:ioroud@mutah.edu.jo)

Citation: Oroud, I. M., & AlTubeiri, Z. S. A. (2023). Estimation of Evaporation from the Surface Water of the Gulf of Aqaba using Band 10 Onboard Landsat 8. *Dirasat: Human and Social Sciences*, 50(6), 231–243.  
<https://doi.org/10.35516/hum.v50i6.304>

## تقدير التبخر من سطح خليج العقبة باستخدام الحزمة الحرارية 10 للقمر الصناعي لاندستات 8

إبراهيم مطيع العرود<sup>\*</sup>، زينب شحادة أحمد الطيري<sup>2</sup>

<sup>1</sup> قسم الجغرافيا، كلية العلوم الاجتماعية، جامعة مؤتة، الكرك، الأردن

<sup>2</sup> قسم الجغرافيا، كلية الآداب، جامعة الحسين بن طلال، الأردن.

### ملخص

الأهداف: تُعد درجة حرارة السطح والتبخر من العوامل الجيوفيزائية المهمة بسبب ارتباطهما الوثيق بتواءن الطاقة والدورة البيدروлогية بين السطح والغلاف الجوي. تهدف الدراسة تقدير درجة حرارة السطح ومعدلات التبخر من خليج العقبة باستخدام معادلة دالتون.

المنهجية: استُخدم النطاق الحراري 10 على متن لاندستات 8 لاسترجاع درجة الحرارة الشعاعية، وجرى تصحيح تأثير الغلاف الجوي على درجة حرارة السطح المسترجعة باستخدام معادلة انتقال الإشعاع. وقد جرى دمج درجة الحرارة المسترجعة مع بيانات الأرصاد الجوية القريبة من السطح لتقدير التبخر اليومي من خليج العقبة باستخدام معادلة دالتون.

النتائج: أظهرت النتائج أن أعلى درجة حرارة سجلت في شهر آب بلغت 27.8 درجة سيلسيوس، بينما سجلت أدنى درجة حرارة عند 16.7 درجة سيلسيوس في شهر كانون ثاني. وأشارت الحسابات إلى أن التبخر اليومي تراوّح بين 2.06 ملم / يوم في تشرين الثاني إلى 5.54 ملم / يوم في حزيران.

الخلاصة: يساهم كل من التبخر العالى والكميات الضئيلة من مدخلات المياه العذبة فى ارتفاع نسبة الملوحة فى خليج العقبة مقارنة بالبحار المفتوحة والمحبطة.

الكلمات الدالة: تقدير التبخر، درجة حرارة سطح الماء، المرئيات الحرارية، خليج العقبة.



© 2023 DSR Publishers/ The University of Jordan.

This article is an open access article distributed under the terms and conditions of the Creative Commons Attribution (CC BY-NC) license  
<https://creativecommons.org/licenses/by-nc/4.0/>

## -1 مقدمة

التبخر عنصر جيوفيزائي مهم لكل من موازنة الطاقة والموازنة المائية على سطح الأرض. ويتم في المجمل تبديد حوالي 77٪ من صافي الاشعاع على سطح الأرض عن طريق التبخر من المسطحات المائية والسطوح الرطبة الأخرى (e.g., Allen et al., 2007; Brutsaert, 1982; Oroud, 2020). ويحتاج تحول الماء من الحالة السائلة إلى الحالة الغازية إلى قدر كبير من الطاقة كون الحرارة الكامنة للتبخر عالية جداً للماء. إذ يلزم لتبخير كيلوغرام واحد من الماء حوالي 2.45 ميجا جول من الطاقة. ويسهم التبخر من المسطحات المائية في الحفاظ على درجة حرارة سطحية معتدلة لمياه البحار والمحيطات، ونادرًا أن تتجاوز درجة حرارة المياه السطحية للبحار والمحيطات حاجز 30 درجة سيلسيوس. يضاف لذلك ارتفاع السعة الحرارية لمياه البحار والمحيطات التي تعمل بدورها كمنظم "واقي" (buffer) لدرجة حرارة النظام الأرضي، وهكذا تعمل البحار والمحيطات باستمرار على تغذية راجعة سالية تقلل من حجم التأرجح في درجة حرارة النظام الأرضي.

وقد أدى إطلاق الأقمار الصناعية ذات القدرة التمييزية المكانية الجيدة وقصر الفترة الزمنية بين المرئيات الفضائية المتتابعة والمساحة الهائلة التي تغطيها المرئية في نفس الوقت (synoptic view) على إحداث ثورة كبيرة في فهم الكثير من العمليات المتعلقة بتبادل الطاقة والمادة بين سطح الأرض والغلاف الجوي. وتتيح الأقمار الصناعية تحسين درجة حرارة السطح ولمساحة واسعة بدقة عالية مما يجعلها مناسبة لأغراض تقدير التبخر من المسطحات المائية والسود والنباتات والترب الرطبة (Bastiaanssen et al., 1998; Oroud, 2021; Oroud, 2022). بالإضافة إلى تأثيرات العوامل الجوية، فإن التبخر من البحار والمحيطات يتاثر في نسبة الملوحة في هذه المسطحات المائية. إذ تنخفض كمية التبخر كلما زادت الملوحة السطحية (Oroud, 2019a).

ويعد خليج العقبة أحد البيئات المائية ذات الخصائص الفريدة مقارنة بالبحار الأخرى لعدة أسباب منها أن هذا الجسم المائي يقع في بيئه شديدة الجفاف حيث أن كمية المطر الماطل هناك لا تتجاوز 20-30 ملم في السنة، بينما يبلغ التبخر-نتح الكامن في هذه البيئة القاحلة قيمًا كبيرة جداً تزيد على 2000 ملم سنويًا. يضاف لذلك أن كمية الأشعة الشمسية الساقطة هناك عالية جداً طوال العام لسيطرة الظروف الجوية الصافية معظم أيام السنة. كما أن نسبة الملوحة في خليج العقبة عالية وتبلغ حوالي 40 غرام لكل كغم مما يؤثر على درجة حرارة الماء السطحية في خليج العقبة. وحسب بيانات برنامج المراقبة الوطني لخليج العقبة (IREDS) فإن دورة تجدد المياه في الخليج تتم مرة كل ثلاث سنوات تقريباً مما يعني أن فترة مكوث الماء طويلة نسبياً وتعكس درجة الحرارة المرصودة في هذه البيئة الظروف المناخية السائدة في منطقة الدراسة. وتترتفع درجة حرارة الهواء في خليج العقبة طوال العام لارتفاع كمية الإشعاع الشمسي الواصل من جهة وبعدها عن التأثيرات الجوية القادمة من الشمال خلال فصل الشتاء لوقوع الخليج ضمن خلية هادلي (Hadley Cell) التي تتصف بارتفاع الضغط الجوي طوال العام. وتتراوح درجة حرارة الهواء في منطقة خليج العقبة بين 15 درجة س في فصل الشتاء إلى حوالي 38 درجة س في فصل الصيف مما يجعلها منطقه جذب سياحي كبير، خصوصاً في الفصل البارد من السنة. ونظراً لسيطرة ضغط جوي مرتفع لوقوع خليج العقبة في منطقة هبوط هوائي، فإن الرياح السطحية تتصف بالهدوء طوال العام، باستثناء فترات ترافق مع حدوث عواصف رعدية نادرة الحدوث.

ويهدف البحث الحالي إلى تقدير درجة حرارة سطح المياه في خليج العقبة خلال السنة باستخدام الحزمة الحرارية 10 المحمولة على القمر الصناعي لأندستس 8. وقد تم استخدام درجات الحرارة المسترجعة في تقدير التبخر من مياه الخليج باستخدام معادلة دالتون. وتعد الدراسة الحالية مفيدة لما توفره من قاعدة بيانات تتعلق بدرجة حرارة سطح مياه خليج العقبة طوال العام، كما أنها تعطي معلومات مبنية على أساس علمية عن الدورة السنوية لكل من درجة الحرارة السطحية للماء والتبخر، وهكذا تسهم مثل هذه الدراسة في بناء قاعدة بيانات تتعلق بمياه الخليج. وقد تم اختيار سنة 2019 لإجراء هذه الدراسة.

## -2 خلفية نظرية

يمكن استخدام أكثر من طريقة لتقدير درجة حرارة السطوح الأرضية عن طريق العزم الحراري المحمولة على الأقمار الصناعية مثل طريقة استخدام حزمتين حراريتين (Split Window algorithm) والحزمة الأحادية (mono-channel algorithm/ single channel) (أنظر: Jimenez-Munoz et al., 2014; Kustas, 2009; Jimenez-Munoz et al., 2009; Jimenez-Munoz et al., 2009). وتعتمد خوارزمية الحزمتين (SW) على استخدام حزمتين من الطيف الحراري ضمن نافذة الغلاف الجوي (atmospheric window) لهما معامل نفاذ مختلف ضمن الغلاف الجوي. ومن خلال اختلاف الامتصاص من قبل مكونات الغلاف الجوي يتم تصحيح الأثر الناتج عن الفروق في الامتصاصية الطيفية (differential spectral absorption) للإشعاع المنبعث عبر مكونات الغلاف الجوي عادة الماء وثاني أكسيد الكربون، حيث يكون لكل حزمة درجة حرارة سطحية تختلف قليلاً عن الأخرى بسبب اختلاف الخفض في درجة الحرارة بين الحزمتين الناتج عن الاختلاف في الامتصاص لكلا الحزمتين. ويمكن استخدام هذه الطريقة عند توفر أكثر من حزمة طيفية محمولة على نحو متزامن على القمر الصناعي.

أما طريقة الحزمة الأحادية فيتم فيها استخدام حزمة حرارية واحدة (Cristobal et al., 2018). ويتم تصحيح دور الغلاف الجوي اعتماداً على معادلة انتقال الأشعاع في الغلاف الجوي (Radiative Transfer Equation) أو عن طريق معادلات تجريبية (empirical equations) تأخذ بعين الاعتبار محتوى الغلاف الجوي من بخار الماء والتوزيع الشاقولي لدرجة حرارة الغلاف الجوي. ووجد كثيرون من الباحثين أن الطريقة الثانية أكثر دقة (e.g., Cristobal et al., 2018; Jimenez Munoz et al., 2014; Käfer et al., 2019).

و يعد الماء أكثر سهولة في تقدير درجة حرارته السطحية من اليابس والتصحيح الوحيد لدرجة حرارة الماء السطحية هو الناتج عن تأثير الغلاف الجوي فقط. إذ أن معامل اشعاعية الماء في الحزم الحرارية ضمن نافذة الغلاف الجوي تبلغ بحدود 0.99 (Salisbury and D'Aria, 1992)، وهكذا يتم بتصحيح بسيط عند تحويل درجة الحرارة الأشعاعية السطحية (surface brightness temperature) إلى درجة حرارة حرارية أو فيزيائية (physical temperature). أما اليابس، فنظرًا لتكوينه من سطوح ذات خصائص متباعدة، فإن معامل الأشعاعية يتفاوت على نحو كبير اعتمادًا على محتوى الرطوبة وخشونة السطح، وتراوح اشعاعية السطح الأرضية من حوالي 0.85 للسطح الرملية إلى حوالي 0.98 للنباتات (Salisbury and D'Aria, 1992; Qin et al., 2001; Curran, 1988).

وعلى عكس الكثير من العناصر الجوية الأخرى التي يمكن قياسها على نحو مباشر مثل الأشعاع الشمسي وسرعة الرياح وكمية الهطول والضغط الجوي، فإن التبخر عنصر يتم اشتراكه (derived not measured) من خلال عناصر جوية أخرى. فعلى سبيل المثال تحتاج لتقدير التبخر كل من صافي الأشعة وسرعة الرياح والرطوبة النسبية ضمن أول عدة أمتار فوق السطح. وبعد صافي الأشعة الذي يمثل كل من الأشعة المكتسبة القادمة من الشمس والغلاف الجوي من جهة والأشعة المعاكسة والمنبعثة من سطح الماء من جهة أخرى العنصر الأكثر أهمية في تحديد كمية التبخر (Allen et al., 2007; Oroud, 2019a).

ويتم قياس التبخر من المسطحات المائية بالطرق الحقلية (field campaigns) باستخدام وسائل متعددة مثل أحواض التبخر العائمة (floating pans) (Foken, 2008; Bras, 2004; Penman-Priestly ratio) وطريقة باون (Bowen ratio) وطريقة بنمان-بريستلي (Dembélé et al., 2020; Brutsaert, Oroud, 2001a; 2001b; 1982). وعلى الرغم من أن الطرق الحقلية دقيقة، إلا أنها مكلفة لما تحتاجه من تجهيزات مادية كبيرة وكوادر بشرية مدربة. والأهم من ذلك أن الطرق الحقلية محدودة جداً في تغطيتها المكانية. وتمثل القياسات الحقلية عادة المناطق الصغيرة التي تمت ضممتها القياسات، كما تتأثر كثيراً في المناطق المحيطة (footprints of nearby surfaces) مما يجعل فائدتها محدودة من الناحية العملية.

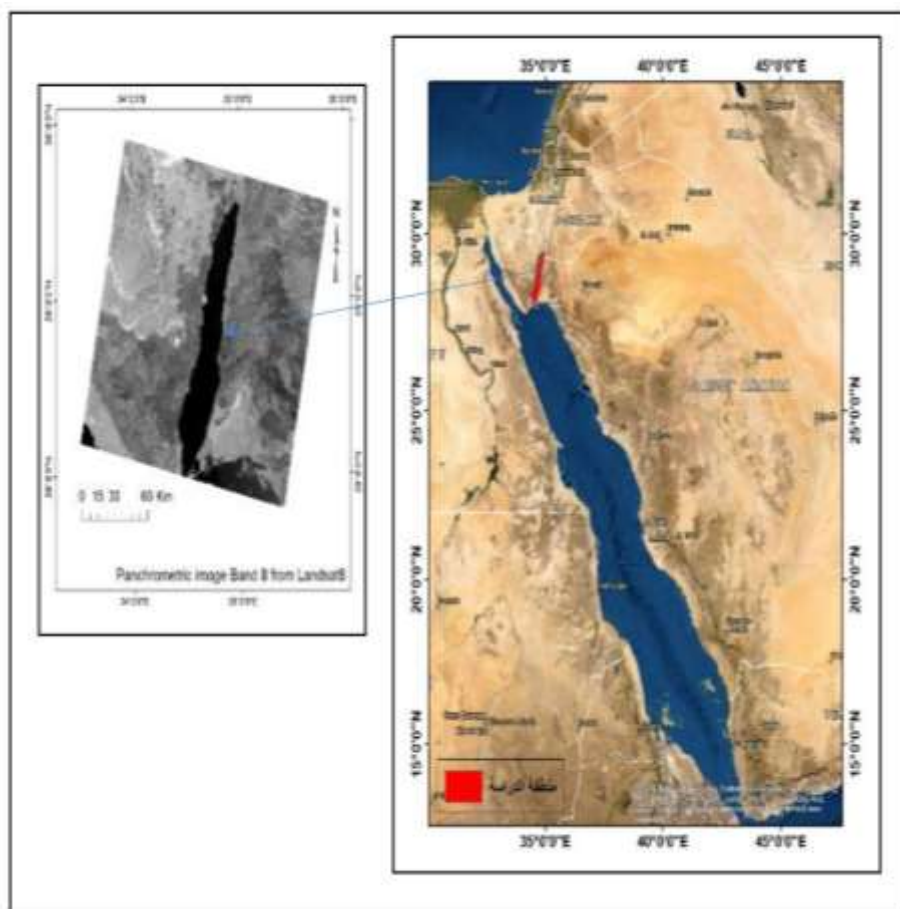
### 3- الدراسات السابقة

هناك كم كبير من الدراسات العلمية التي أجريت على نمذجة وقياس درجة الحرارة السطحية للمياه واليابس وكذلك عن التبخر من البحيرات والنباتات والبحار المفتوحة. وسيتم التطرق إلى بعض هذه الدراسات ذات العلاقة لوجود عدد كبير منها بعضاً يتعلق بتقدير التبخر من المسطحات المائية والجزء الأكبر من أسطح النباتات (Brutsaert, 1982; Foken, 2008) (أنظر أيضًا: Yang et al., 2020; Torbick et al., 2016; Wang et al., 2014). فقد حاول أحمد (Ahmed, 1999) تقدير التبخر من بحيرة نافاشا في كينيا من خلال مرئية القمر الصناعي لاندستات 5 الملقطة في 21 يناير، 1995، وحساب تدفق الحرارة الكامنة اللحظية والتباخر الكلي اليومي. وحاول (Murrihy et al., 2009) تقدير التبخر من بحيرات منطقة مينيدن في استراليا للمقارنة بين حساب التبخر من سطح المياه باستخدام المرئيات الفضائية للقمر لاندستات واستر ومقارنته بذلك بالطرق الحاسوبية الحقلية المتاحة لحساب التبخر. وتوصلت الدراسة إلى وجود تقارب في القيم المقدرة بكلتا الطريقتين، كما لاحظ أن القيم المقدرة من المرئيات الفضائية أعلى من المقاسة بالطرق الحقلية في أشهر الشتاء، كما درس (Melesse et al., 2009) التبخر من بحيرات الوادي المتصل في أثيوبيا باستخدام مرئيات القمر الصناعي لاندستات 5 للأعوام 1986 و2000، ومقارنتها بالبيانات المقاسة بالطرق التقليدية. وتوصلت الدراسة إلى وجود تقارب في القيم بين الطريقتين. واستخدم (Al-Subhi, 2012) معادلة دالتون لتقدير التبخر في الجزء الجنوبي من البحر الأحمر، وقدرت معدلات التبخر في ثلاثة مناطق-جدة، جازان، الحديدة (اليمن). وكانت أعلى قيمة للتباخر في منطقة جدة خلال شهر نوفمبر وديسمبر ويناير، وفي الحديدة في شهر أكتوبر أما في جازان فكانت أعلى قيمة في شهر حزيران. كما درست الجوازنة (2018) المساحة السطحية والتباخر من البحر الميت للفترة 1985-2017 وتوصلت إلى وجود تراجع ملحوظ في مساحته من 678 كم<sup>2</sup> سنة 1985 إلى 606 كم<sup>2</sup> سنة 2017. كما أظهرت النتائج أن درجة حرارة البحر الميت ازدادت خلال شهر تموز من 31.6°C عام 1985 إلى 32.6°C عام 2017. وتوصلت الدراسة أن تراجع المساحة السطحية للبحر الميت ناتج عن عدم التوازن بين كميات المياه الواردة وكمية المياه المفقودة عن طريق التبخر. ودرس (Oroud, 2019a) الدورة السنوية لدرجة الحرارة لسطح البحر الميت باستخدام المرئيات الحرارية من لاندستات 8. وأشارت النتائج إلى وجود اختلاف في درجة الحرارة من حوالي 20 درجة مئوية في فبراير إلى 35 درجة مئوية في تموز. كما أوضحت تأثير تدفق المياه العذبة على التبخر من البحيرات شديدة الملوحة. وأشارت الدراسة إلى أهمية مرئيات الأقمار الصناعية بديلًا ممتازًا عن القياسات الميدانية التي

تتطلب الكثير من المال والعملاء وتستغرق وقتا طويلاً ومحدودة جداً في تغطيتها المكانية. كما درس (Oroud, 2019c) إمكانية دمج كل من الحزم الحرارية والبيانات الجوية السطحية في تقدير التبخر من المسطحات المائية الكبرى مثل البحيرات والخلجان. وتم مقارنة نتائج الدراسة مع دراسات حقلية مكثفة أجريت فوق البحر الميت وكانت النتائج المتعلقة بكل من درجة الحرارة السطحية وكميات التبخر المستخلصة من المرئيات الفضائية والرصد الحقلي قريبة من بعضها بعضاً.

#### -4 منطقة الدراسة

تقع منطقة الدراسة بين خطى طول 34.406 و 34.96 شرقاً وبين دائرة عرض 27.997 و 29.54 شمالاً. يبلغ طول منطقة الدراسة حوالي 180.6 كم وأقصى عرض لها 28 كم. وتبلغ مساحة المنطقة 3090 كم<sup>2</sup>. يعد خليج العقبة الفرع الشرقي للبحر الأحمر ويمثل الذراع الغربي خليج السويس. يحاذى خليج العقبة أربع دول هي الأردن وال السعودية ومصر وفلسطين المحتلة (شكل 1). يعد خليج العقبة من البيئات شديدة الجفاف لارتفاع كمية الاشعاع الشمسي من جهة نهر الوجود الخليج ضمن منطقة مرتفع جوي دائم ولذلك تسود أجواء صافية معظم أيام السنة. كما أن الرياح في هذه المنطقة هادئة. وتبلغ كمية المطر الهاطل في المعدل بحدود 20-30 ملم سنوياً، وقد تمر بعض السنوات دون أي هطول مطري. وتعد هذه المنطقة ذات مناخ ملائم للسياحة خصوصاً في الفصل البارد من السنة لاعتدال درجات الحرارة هناك وندرة الأمطار. ونظراً للظروف الجوية الملائمة فقد أنشئت العديد من المنتجعات السياحية التي تستقطب الزوار من شقي بقاع الأرض. ولهذا تكمن أهمية هذه الدراسة في معرفة الخصائص الحرارية لمياه الخليج.



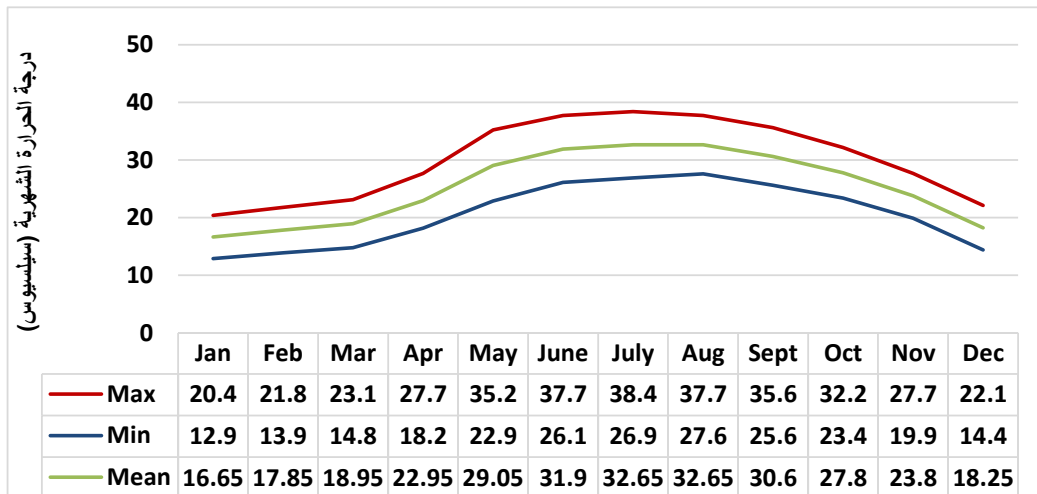
شكل 1. موقع منطقة الدراسة مشارله باللون الأحمر على اليمين.

#### -5 مناخ منطقة الدراسة

هناك العديد من العوامل المناخية والجغرافية التي تؤثر على معدلات التبخر من المسطحات المائية (العروود، 2002)، وفي ما يلي أهم العوامل المناخية المتعلقة بحساب التبخر من خليج العقبة:

#### 4.1- درجة حرارة الهواء

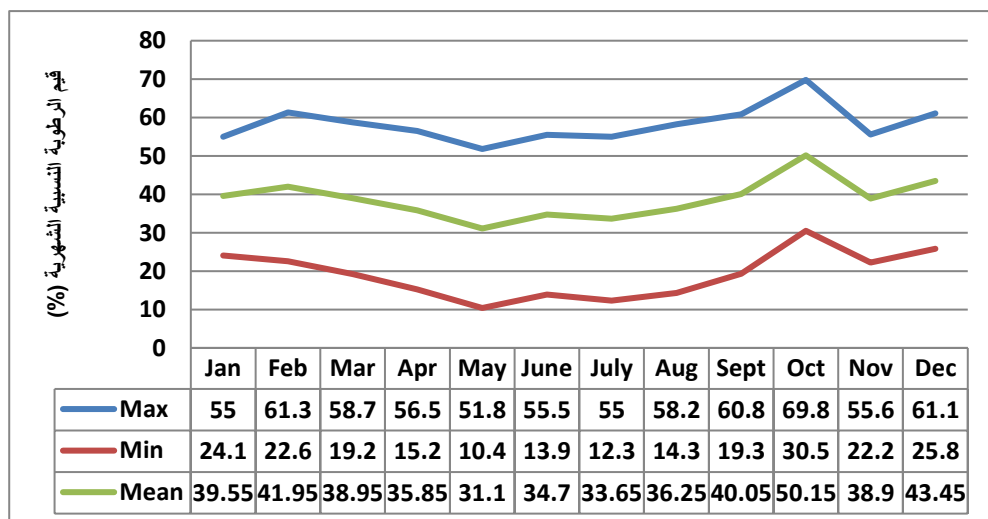
تعد درجة الحرارة من العناصر المناخية المؤثرة على نحو كبير في التبخر. يصل معدل درجات حرارة الهواء العظمى في خليج العقبة في أيام الصيف كما هو موضح في شكل 2 إلى حوالي 38.4 ° د. س وإلى 20 ° د. س في شهر كانون ثاني. علماً أن درجة الحرارة العظمى قد تصل في أشهر الصيف أكثر من 45 ° د. س في بعض الأحيان. ويزداد التبخر من الماء كلما ارتفعت درجة حرارة الهواء لقدرة الهواء الساخن على حمل كميات كبيرة من بخار الماء مقارنة بدرجات الحرارة المنخفضة (أبو سعور والخطيب، 1999). وبين شكل (2) الدورة السنوية لمتوسط درجة حرارة الهواء العظمى والصغرى لعام 2019.



شكل 2. متوسط درجة حرارة الهواء (درجة سيلسيوس) (اللون الأخضر) وكل من متوسط درجة الحرارة العظمى (الأزرق) ومتوسط درجة الحرارة الصغرى (الأحمر) خلال أشهر السنة المختلفة لعام 2019. المصدر: برنامج المراقبة الوطنية لخليج العقبة.

#### 4.2- الرطوبة النسبية

تعرف الرطوبة النسبية أنها النسبة بين ضغط بخار الماء الفعلي إلى ضغط بخار الماء الأشعاعي. ويتم التعبير عنها عادة بنسبة مئوية، فعندما ترتفع الرطوبة النسبية في الجو يقل معدل التبخر في المسطحات المائية، أي أن ارتفاع الرطوبة النسبية في الجو الناجم عن انخفاض درجة الحرارة ومع بقاء الظروف الأخرى ثابتة يقلل من معدلات التبخر. لذلك فإن كمية التبخر في الطقس البارد تكون محدودة مقارنة بتلك في الطقس الحار (أبو سعور والخطيب، 1999). وتصل القيمة العظمى لمعدلات الرطوبة النسبية في خليج العقبة أعلاها في شهر تشرين أول ويحدود 69.8%. ويوضح شكل 3 الدورة السنوية لمعدل الرطوبة النسبية فوق خليج العقبة.



شكل 3. معدل الرطوبة النسبية الشهرية (%) لخليج العقبة خلال أشهر عام 2019. المصدر: برنامج المراقبة الوطنية لخليج العقبة.

#### 4.3- سرعة الرياح Wind speed

تعد الرياح من العناصر الهامة في زيادة معدلات التبخر لقدرها على تحرير جزيئات الماء وتحريكها ورفعها. تعمل الرياح على خلط بخار الماء الموجودة في طبقات الهواء الملامسة لسطح الماء مع طبقات الهواء الأعلى الأكثر جفافاً مما يساعد في زيادة المياه المتباخرة. ومن الصعب جداً أن تجد في الطبيعة هدوءاً تاماً للهواء لذلك فإن الرياح تؤثر في كميات المياه المتباخرة. يصل متوسط معدل سرعة الرياح إلى 12 كم/ساعة.

#### 4.4- الإشعاع الشمسي Solar radiation

الإشعاع الشمسي هو من أهم العوامل المؤثرة في التبخر على الإطلاق، فقد أثبتت العديد من التجارب التي أجريت على أهمية الدور الذي يقوم به هذا العامل الذي يفوق كثيراً الدور الذي يقوم به أي عامل آخر منفرد. وقد تبين من هذه التجارب وجود علاقة طردية قوية بين شدة الإشعاع الشمسي والتبخر. ويعتمد الإشعاع الشمسي على مدة سطوع الشمس وزاوية سقوط الأشعة الشمسية التي تتراوح في خليج العقبة عند الظهر ما بين 37.5 درجة في نهاية كانون الأول إلى حوالي 84 درجة في نهاية حزيران. ويبلغ المعدل اليومي للإشعاع الشمسي الواسع لخليج العقبة بحدود 22 ميجا جول م<sup>2</sup>، وعدد ساعات السطوع الشمسي ما بين 8 ساعات في الشتاء إلى ما يزيد عن 13 ساعة في شهر حزيران.

#### 5- منهجة البحث

تم جمع البيانات المكانية من المصادر التالية:

- 1- مرئيات فضائية تم الحصول عليها من موقع هيئة المساحة الجيولوجية الأمريكية (USGS) لكل شهر خلال عام 2019 (Reference System Path 174, Worldwide Reference System Row 040).
  - 2- بيانات مناخية من الجمعية العلمية الملكية لحماية البيئة البحرية (JREDS)، البرنامج الوطني لمراقبة خليج العقبة
  - 3- برنامج Google Earth pro لتحديد حدود منطقة الدراسة.
- ويوضح الجدول (1) الخصائص الطيفية للجذم المحمولة على القمر الصناعي Landsat8. وقد تم اتباع الخطوات التالية لتحقيق هدف الدراسة كما هو موضح في شكل 4.



شكل 4. آلية تقدير درجة الحرارة والتبخر في منطقة الدراسة.

الجدول (1). تاريخ أخذ المرئيات الفضائية.

الدقّة التميّزية (م)	وقت الالتقاط (GMT)	تاريخ المرئيّة
30	08:11:41	2019/1/6
30	08:11:39	2019/2/11
30	08:11:29	2019/3/15
30	08:11:21	2019/4/16
30	08:11:30	2019/5/18
30	08:11:44	2019/6/19
30	08:11:49	2019/7/5
30	08:11:59	2019/8/6
30	08:12:07	2019/9/7
30	08:12:16	2019/10/9
30	08:12:13	2019/11/26
30	08:12:08	2019/12/28

-4 اقتطاع منطقة الدراسة من جميع المرئيات لـ Band 10 باعتماد ملف (Shapefile) لمنطقة الدراسة.

-5 تقدير درجة الحرارة السطحية

تم في هذه الدراسة استخدام النطاق 10 بطول موجي  $10.60\text{--}11.19 \mu\text{m}$ ، وبطول موجي فعال (effective wavelength) بحدود 10.91 مايكرون. وتم حساب درجة حرارة السطح باستخدام المعادلة التالية (Cristobal et al., 2018)

$$\lambda = 0.000334201 \times DN - 0.1 \quad (1)$$

-4 حساب درجة الحرارة على قمة الغلاف الجوي باعتماد على المعادلة الآتية:

$$Ts = \left( \frac{K2}{Ln\left(\frac{K1}{L\lambda} + 1\right)} \right) - 273.15 \quad (2)$$

وتم الحصول على الثوابت للمرئيات من الملف المرفق مع المرئيات (MTL) الخاص بالقمر الصناعي Landsat8 (أنظر: Oroud, 2021) في ما يتعلّق بالثوابت المستخدمة في تقدير درجة الحرارة للسطح.

-6 تم تقدير التبخر باستخدام معادلة دالتون،

$$E = 0.096 U (e_s - e_a) \quad (3)$$

حيث أن  $E$  التبخر اليومي (ملم)

$U$ : سرعة الرياح (م/ث)

$e_s$ : ضغط بخار الماء الإشعاعي عند سطح البحر (مليبار)

$e_a$ : ضغط بخار الماء في الهواء القريب من السطح ( مليبار). وقد تم حساب ضغط بخار الماء الإشعاعي على النحو التالي:

$$e_s = 6.1078 e^{\left(\frac{17.2697s}{237.3+Ts}\right)} \quad (4)$$

حيث أن درجة الحرارة بالسيليسيوس.

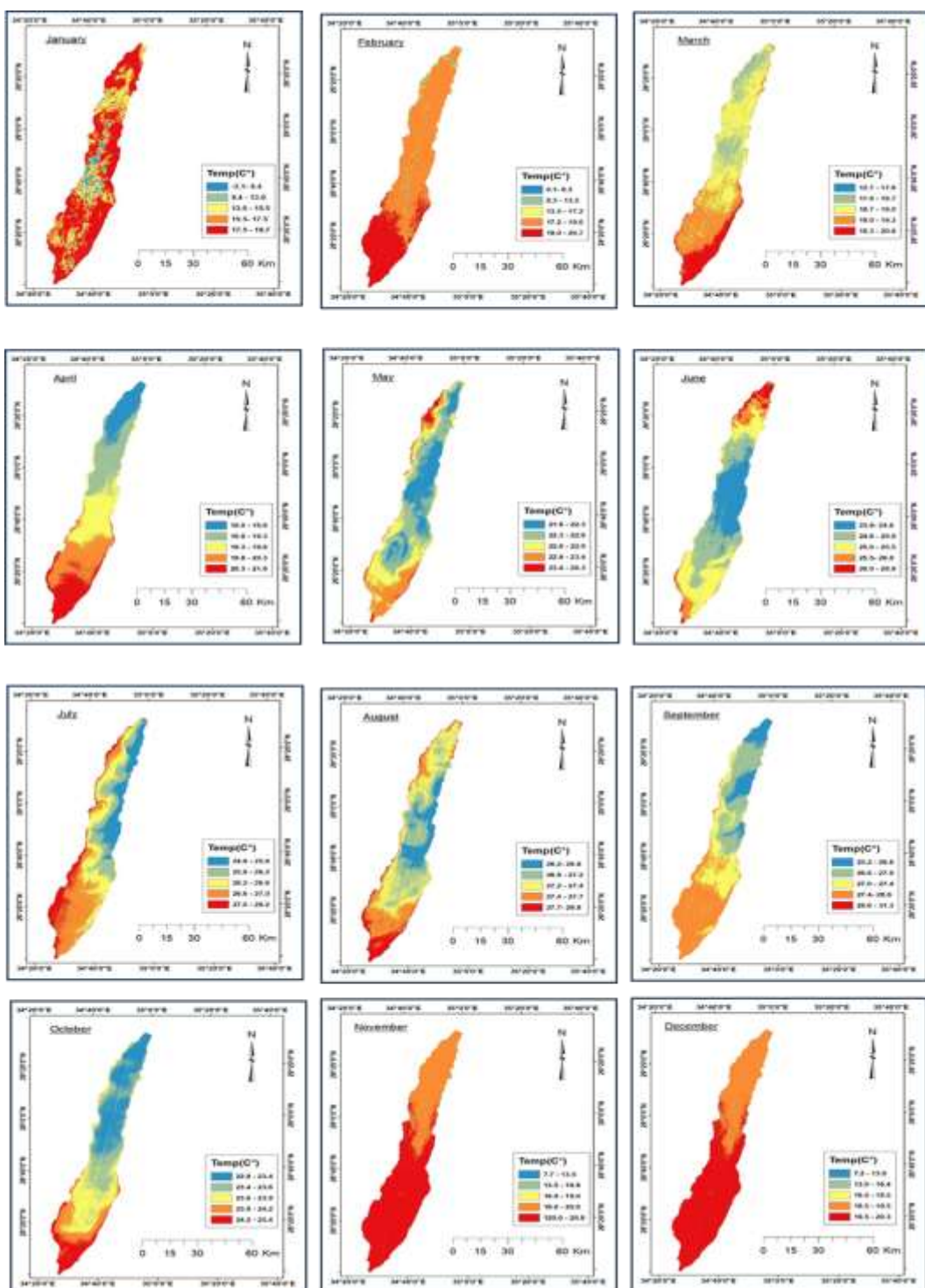
-6 نتائج الدراسة

-6.1 درجة الحرارة

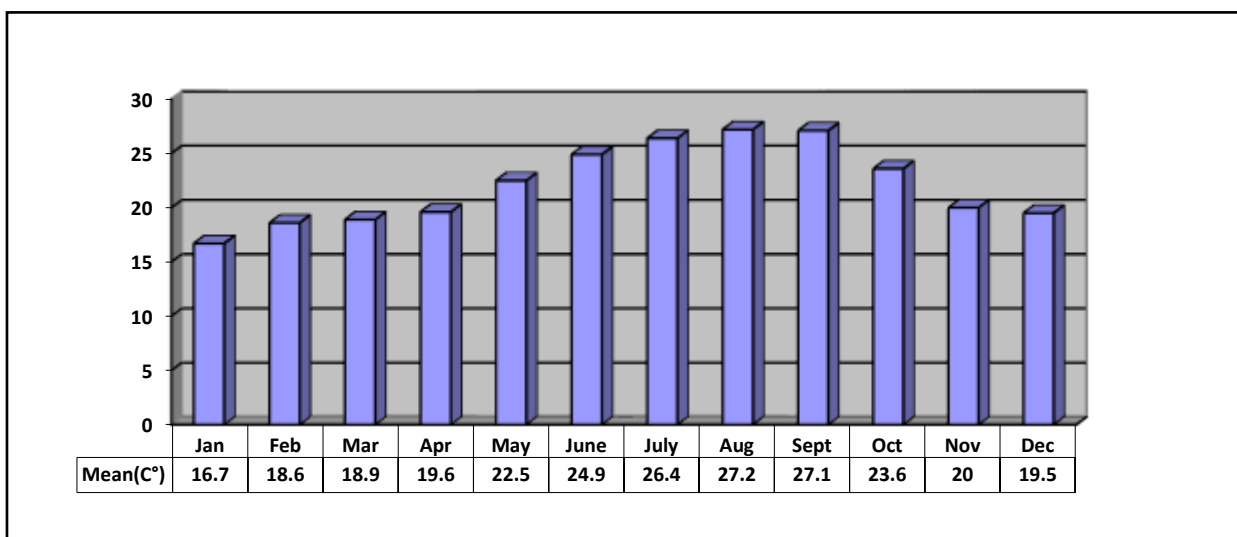
يتضح من شكل 5 ارتفاع درجة حرارة مياه الخليج الذي يعمل بدوره على زيادة معدلات التبخر. يوضح شكل 5 متوسط الحرارة الشهرية كما تم الحصول عليها من الخصائص الإحصائية للمرئيات الفضائية. ويتبّع وجود ارتفاع في معدلات الحرارة على نحو عام في جميع الشهور، ويبلغ أقصى معدل في شهر آب، وأقل معدل في شهر كانون الثاني. ويلاحظ من خلال المرئيات وجود تدرج حراري ضمن خليج العقبة حيث تزداد درجة حرارة المياه

بالاتجاه جنوباً. وهذا يعود لعوامل متاخرة حيث أن درجة الحرارة للهواء تزداد جنوباً لارتفاع كمية الأشعة الشمسية في الأجزاء الجنوبية مقارنة بالأجزاء الشمالية، خصوصاً في الأشهر الباردة. كما أن المناطق الجنوبية أبعد عن تأثيرات الرياح الباردة القادمة من الشمال في الفصل البارد التي تتصاحب مع مرور المنخفضات الجوية التي تؤثر على شرق البحر المتوسط في الفصل البارد التي قد يطال تأثيرها المناطق الشمالية لخليج العقبة.

وتشير البيانات المرصودة من برنامج المراقبة الوطني لخليج العقبة أن معدل درجة حرارة سطح خليج العقبة في كانون الثاني تبلغ حوالي 17.2 درجة سيلسيوس وفي شهر آب حوالي 27.5 درجة سيلسيوس في عام 2019. وتتوافق هذه النتائج مع ما تم الحصول عليه من خلال المئويات الفضائية.



شكل 5. التوزيع المكاني لدرجة الحرارة في خليج العقبة خلال أشهر السنة لعام 2019.

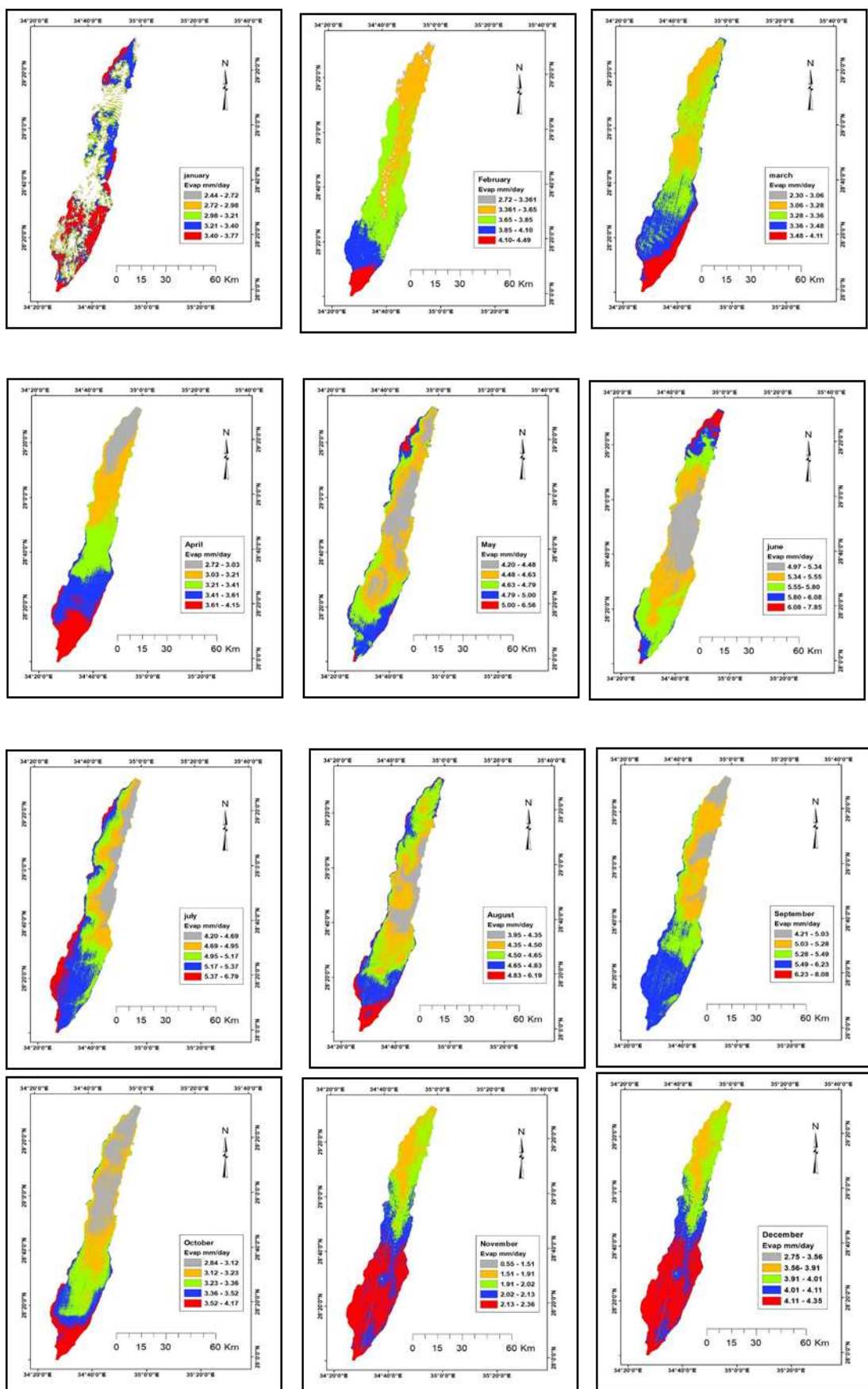


شكل 6. معدل درجات الحرارة الشهري (درجة سيلسيوس) لعام 2019 كما تم حسابها من المرئيات الفضائية. القيم الشهرية موضحة مقابل كل شهر على محور الصاد.

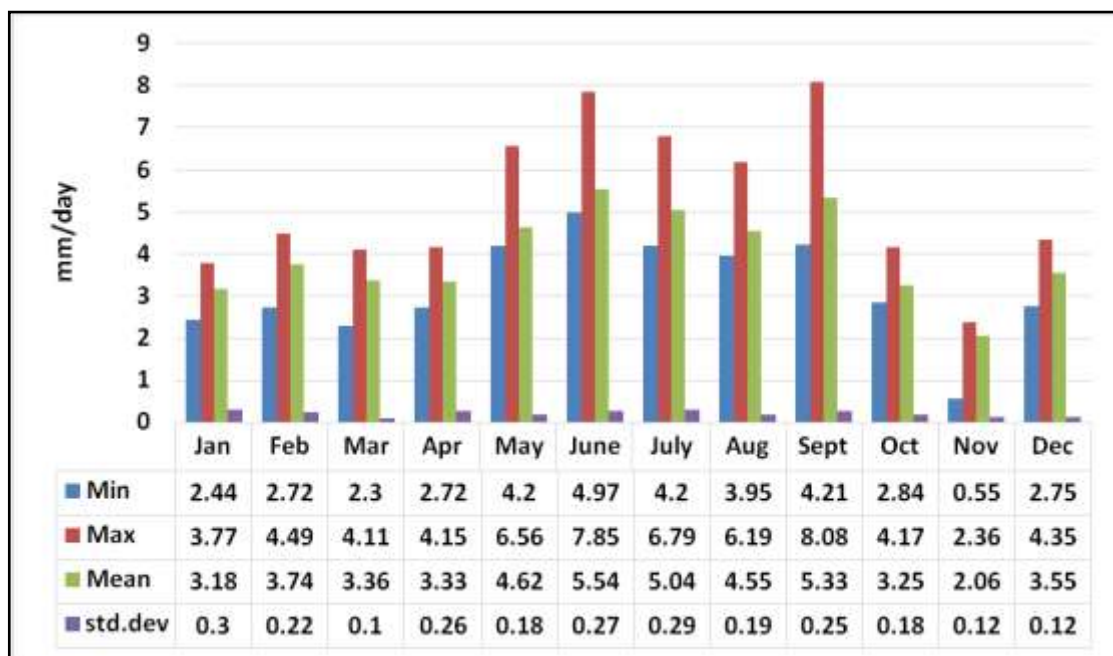
#### 6.2- تقدير التبخر

تم تقدير التبخر بالاعتماد على بيانات المرئيات الفضائية والمعلومات المناخية من الجمعية العلمية الملكية لحماية البيئة البحرية. وقد تم استثناء المناطق المغطاة بالغيوم حيث تم إجراء عملية إزالة (Mask out) للمناطق البارد التي لا تتوافق درجة حرارتها مع درجة حرارة ماء الخليج خلال الأشهر المختلفة. ويوضح الشكل 7 نتائج التبخر لخليج العقبة لعام 2019.

يتضح من التوزيع الشهري للتبخر (شكل 7) وجود تباين في قيم التبخر اليومي في خليج العقبة، كما نلاحظ تركز معظم المعدلات المرتفعة للتبخر في الجنوب والجنوب الغربي من الخليج. وتتوافق قيم التبخر الشهري مع معدلات درجة الحرارة المسترجعة من المرئيات الحرارية. ويوضح شكل 8 القيم العليا والدنيا والمتوسط العام والانحراف المعياري للتبخر لكل شهر بالسنة. وترتفع قيم التبخر في أشهر الصيف لارتفاع درجة حرارة سطح الماء إذ أن قدرة الهواء على حمل بخار الماء تتناسب بصورة غير خطية مع ارتفاع درجة الحرارة. كما أن الرطوبة النسبية تنخفض خلال أشهر الصيف مما يعزز من ارتفاع الفروق في العجز الشباعي على سطح الطبقة الحدية الفاصلة بين سطح الماء والغلاف الجوي القريب (surface-atmosphere boundary).



شكل 7. التوزيع المكاني للتبخر ضمن خليج العقبة خلال أشهر السنة لعام 2019



شكل 8. القيم العليا والصغرى والمتوسط العام والانحراف المعياري للتبخّر اليومي في خليج العقبة خلال أشهر السنة للعام 2019 كما تم الحصول عليها من الخصائص الإحصائية للتبخّر من المرئيات التي تم معالجتها.

ترتفع معدلات التبخّر في معظم الشهور خلال العام، غير أنه يلاحظ الارتفاع الواضح في أشهر الصيف للفترة الممتدة بين أيار وأيلول. ويبلغ أقصى متوسط معدل تبخّر لهذه الشهر 5.54 ملم/يوم في شهر حزيران.

#### 7- المناقشة والخاتمة

تم خلال المرئيات الحرارية استخلاص الدورة السنوية لدرجة حرارة مياه خليج العقبة لسنة 2019. ويتبين من المرئيات الحرارية أن أقصى معدل درجة الحرارة للخليج قد حدث في شهر آب حيث وصل معدل درجة الحرارة السطحية حوالي 27.8 درجة سيلسيوس بينما كان أدنى معدل لحرارة مياه الخليج في شهر كانون الثاني وبلغ حوالي 16.7 درجة سيلسيوس. ويتأخر عادة وصول درجة الحرارة العظمى للبحار والمحيطات حوالي شهرين عن اليابس. إذ على سبيل المثال يصل الإشعاع الشمسي قمته في شهر حزيران بينما يبلغ أعلى معدل سنوي لدرجة الحرارة على اليابس في شهر تموز وببداية آب نتيجة خزن الحرارة الذي يتم في الطبقات تحت السطحية. أما للبحار المفتوحة، فإن درجة الحرارة للطبقة المائية السطحية فتصل أعلى قيمها بعد ثلاثة أشهر من قمة الإشعاع الشمسي الواصل للسطح، أي في شهر أيلول. وبالنسبة لخليج ضيق مثل خليج العقبة ولبطء تبادل الماء مع البحار المفتوحة يصل المعدل السنوي لدرجة الحرارة في نهاية شهر آب، أي يتأخر حوالي شهرين عن قمة الإشعاع الشمسي. ويتبع التبخّر من خليج العقبة الدورة السنوية لدرجة حرارة الماء. ولكن طريقة دالتون تعتمد على الفرق في ضغط بخار الماء الاشعاعي بين السطح والهواء المجاور، فإن التبخّر يتبع إلى حد كبير الدورة السنوية لدرجة الحرارة، كما يتأثر على نحو مباشر في الدورة السنوية لسرعة الرياح.

ويشهد كل من ارتفاع معدلات التبخّر مقروناً ببطء تبادل الماء مع البحار المفتوحة بسبب الامتداد الجانبي للخليج وقلة المياه العذبة سواء كانت من مياه الأمطار أو الجريان السطحي في ارتفاع ملوحة خليج العقبة التي تبلغ 40 غم/كغم مقارنة بالبحار المفتوحة التي تبلغ ملوحتها 35 غم/كغم.

**المصادر والمراجع**

- أبو سعور، ح.، والخطيب، ح. (1999). جغرافية الموارد المائية. (ط 1). عمان: دار صفا للنشر والتوزيع.
- الجوازنة، ص. (2018). تقدير التبخر من البحر الميت باستخدام الاستشعار عن بعد وأنظمة المعلومات الجغرافية. رسالة ماجستير غير منشورة، جامعة مؤتة، الكرك.
- الجمعية العلمية الملكية لحماية البيئة البحرية (REDS)، بيانات غير منشورة.
- العرود، إ. (2002). مبادئ الجغرافيا الطبيعية. عمان: دار الشروق.

**References**

- Ahmed, A. (1999). Estimation of Lake Evaporation Using Meteorological Data and Remote Sensing: A Case Study of Lake Naivasha, Central Rift Valley Kenya. ITC.
- Allen, R. G., Tasumi, M., & Trezza, R. (2007). Satellite-based energy balance for mapping evapotranspiration with internalized calibration (METRIC)—Model. *Journal of irrigation and drainage engineering*, 133(4), 380-394.
- Al-Subhi, A. M. (2012). Estimation of evaporation rates in the southern Red Sea based on the AVHRR sea surface temperature data. *J King Abdulaziz Univ Mar Sci*, 23(1), 77-89.
- Bastiaanssen, W. G., Menenti, M., Feddes, R. A., & Holtslag, A. A. M. (1998). A remote sensing surface energy balance algorithm for land (SEBAL). 1. Formulation. *Journal of hydrology*, 212, 198-212.
- Bras, R. L. (1990). Hydrology: an introduction to hydrologic science. (*No Title*).
- Brutsaert, W. (1982). *Evaporation into the Atmospheric*. Netherland: Reidel Publishing Company.
- Cristobal, J., Jimenez-Munoz, J., Prakash, A., Mattar, C., Skokovic, D., & Sobrino, J. (2018). An improved single-channel method to retrieve land surface temperature from the Landsat-8 thermal band. *Remote Sensing*, 10, 431. <https://doi.org/10.3390/rs10030431>.
- Curran, P. J. (1988). *Principles of Remote Sensing*. Longman Group Ltd.
- Dembélé, M., Ceperley, N., Zwart, S. J., Salvadore, E., Mariethoz, G., & Schaeffli, B. (2020). Potential of satellite and reanalysis evaporation datasets for hydrological modelling under various model calibration strategies. *Advances in Water Resources*, 143, 103667. <https://doi.org/10.1016/j.advwatres.2020.103667>
- Evans, R., Hulbert, S., Murrihy, E., Bastiaanssen, W. M. R., & Molloy, R. (2009). Using satellite imagery to measure evaporation from storages—solving the great unknown in water accounting. In *Irrigation and Drainage Conference*.
- Faysash, D., & Smith, E., (1999). Simultaneous land surface temperature-emissivity retrieval in the infrared split window. *Journal of Atmosphere and Ocean Technology*, 16, 1673–1689.
- Foken, T., & Foken, T. (2017). Modeling of the Energy and Matter Exchange. *Micrometeorology*, 207-243. [https://link.springer.com/chapter/10.1007/978-3-540-74666-9\\_5](https://link.springer.com/chapter/10.1007/978-3-540-74666-9_5)
- Jiménez-Muñoz, J. C., Sobrino, J. A., Skoković, D., Mattar, C., & Cristobal, J. (2014). Land surface temperature retrieval methods from Landsat-8 thermal infrared sensor data. *IEEE Geoscience and remote sensing letters*, 11(10), 1840-1843. <https://doi.org/10.1109/LGRS.2014.2312032>
- Jiménez-Muñoz, J. C., & Sobrino, J. A. (2003). A generalized single-channel method for retrieving land surface temperature from remote sensing data. *Journal of geophysical research: atmospheres*, 108(D22). <https://doi.org/10.1029/2003JD003480>
- Jimenez-Munoz, J.C., Cristobal, J., Sobrino, J.A., Soria, G., Ninyerola, M., & Pons, X. (2009). Revision of the single channel algorithm for land surface temperature retrieval from Landsat thermal-infrared data, EEE trans. *Geoscience Remote Sensing*, 47, 339–349.
- Käfer, P. S., Rolim, S. B. A., Iglesias, M. L., da Rocha, N. S., & Diaz, L. R. (2019). Land surface temperature retrieval by LANDSAT 8 thermal band: applications of laboratory and field measurements. *IEEE Journal of Selected Topics in Applied Earth Observations and Remote Sensing*, 12(7), 2332-2341. <https://doi.org/10.1109/JSTARS.2019.2913822>
- Kustas, W., & Anderson, M. (2009). Advances in thermal infrared remote sensing for land surface modeling. *Agricultural and Forest Meteorology*, 149, 2071–2081.

- Melesse, A. M., Abtew, W., & Dessalegne, T. (2009). Evaporation estimation of Rift Valley Lakes: comparison of models. *Sensors*, 9(12), 9603-9615. <https://doi.org/10.3390/s91209603>
- Oroud, I. M. (2001a). A new formulation of evaporation temperature dynamics of saline solutions. *Water Resources Research*, 37, 2513–2520.
- Oroud, I. M. (2001). Dynamics of evaporation from saline water bodies. *Journal of Geophysical Research: Atmospheres*, 106(D5), 4695-4701.
- Oroud, I. M. (2019). Evaporites: Relative humidity control of primary mineral facies revisited. *Hydrological Processes*, 33, 395-404. <https://doi.org/10.1002/hyp.13334>
- Oroud, I. M. (2019b). The annual surface temperature patterns across the Dead Sea as retrieved from thermal images. *Arabian Journal of Geosciences*, 12, 695.
- Oroud, I. M. (2019c) The utility of thermal satellite images and land-based meteorology to estimate evaporation from large lakes. *Journal of Great Lakes Research*, 45(4), 703-714. <https://doi.org/10.1016/j.jglr.2019.05.004>
- Oroud, I. M. (2020). Spatial and temporal surface temperature patterns across the Dead Sea as investigated from thermal images and thermodynamic concepts. *Theoretical and Applied Climatology*, 142(1-2), 569-579. <https://doi.org/10.1007/s00704-020-03343-9>
- Oroud, I. M., & Balling Jr, R. C. (2021). The utility of combining optical and thermal images in monitoring agricultural drought in semiarid Mediterranean environments. *Journal of Arid Environments*, 189, 104499. <https://doi.org/10.1016/j.jaridenv.2021.104499>
- Oroud, I. M. (2022). Derivation of spatially distributed thermal comfort levels in Jordan as investigated from remote sensing, GIS tools, and computational methods. *Theoretical and Applied Climatology*, 148(1-2), 569-583. <http://dx.doi.org/10.1007/s00704-022-03951-7>
- Qin, Z., Karnieli, A., & Berliner, P. (2001) A mono-window algorithm for retrieving land surface temperature from Landsat TM data and its application to the Israel-Egypt border region. *International Journal of Remote Sensing*, 22, 3729–3746.
- Salisbury, J. W., & D'Aria, D. M. (1992). Emissivity of terrestrial materials in the 8–14 μm atmospheric window. *Remote sensing of Environment*, 42(2), 83-106.
- Torbick, N., Ziniti, B., Wu, S., & Linder, E. (2016). Spatiotemporal lake skin summer temperature trends in the Northeast United States. *Earth Interactions*, 20(25), 1-21.
- Wang, F., Qin, Z., Song, C., Tu, L., Karnieli, A., Zhao, S. (2015) An improved mono-window algorithm for land surface temperature retrieval from Landsat 8 thermal infrared sensor data. *Remote Sensing*, 7, 4268–4289. <https://doi.org/10.3390/rs70404268>
- Yang, J., Duan, S. B., Zhang, X., Wu, P., Huang, C., Leng, P., & Gao, M. (2020). Evaluation of seven atmospheric profiles from reanalysis and satellite-derived products: Implication for single-channel land surface temperature retrieval. *Remote Sensing*, 12(5), 791. <https://doi.org/10.3390/rs12050791>
- Yu, X., Guo, X., & Wu, Z. (2014). Land surface temperature retrieval from Landsat 8 TIRS: comparison between radiative transfer equation-based method, split window algorithm and single channel method. *Remote Sensing*, 6, 9829–9852. <https://doi.org/10.3390/rs6109829>